

Měření a informace v moderní optice

Jaroslav Řeháček

katedra optiky

PřF UP

obsah

- nastínění problematiky měření
- aplikace tomografie v kvantové a klasické optice
- neznámé měřicí zařízení
- informačně neúplné měření
- charakterizace kvality měření

Jan Peřina

Zdeněk Hradil

Zdeněk Bouchal

Bohumil Stoklasa

Libor Mořka

Martin Paúr

Dominik Koutný

Yong Siah Teo

Vítězslav Karásek

- Max-Planck-Institut für die Physik des Lichts, Erlangen
 - Universidad Complutense, Madrid
 - Centre for Quantum Technologies, NUS Singapore
 - Universität Paderborn
-
- Meopta – optika, s.r.o.
 - PRAMACOM-HT, spol s r.o.

T A
Č R

IGA UP

Program **Centra kompetence**

 GAČR
GRANTOVÁ AGENTURA ČESKÉ REPUBLIKY

měření

obecné schéma



každá funkce dat je odhad

speciální případy

- nevychýlený/nestranný o.
- konzistentní o.
- efektivní o.
- lineární o.

bodový odhad

optimalizace odhadu

- penalizace $C(\rho, \hat{\rho})$
- minimalizace rizika

speciální volba

$$C(\rho, \hat{\rho}) \propto -\delta(\rho - \hat{\rho})$$

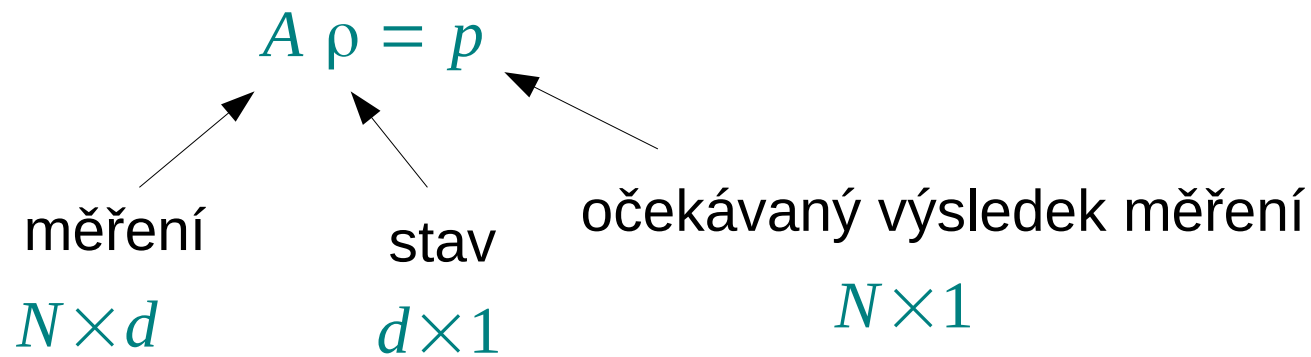
- vede na maximalizaci věrohodnosti

$$L(\rho) = p(f | \rho)$$

- asymptoticky efektivní odhad

informační úplnost

uvažujme lineární model



N rovnic pro d neznámých plus další vazby, např. $\rho \geq 0$

informačně úplné měření (IC)

$$\rho_1 \neq \rho_2 \Rightarrow A \rho_1 \neq A \rho_2$$

LIN odhad

realistická detekce

$$p \rightarrow \hat{p} = f$$

IC měření

- minimální $N = d$
- přeурčené $N > d$

$$\hat{\rho}_{\text{LIN}} = A^{-} f \quad \text{OLS popř. GLS}$$

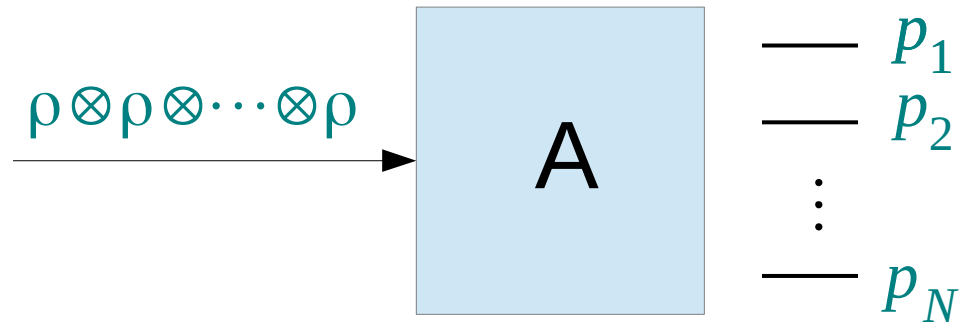
LIN odhad je často BLUE (best linear unbiased estimator)

ale

LIN odhad nezahrnuje vazby – problematické z hlediska fyz. interpretace

příklad 1: měření kvantového stavu

charakterizace přípravy kvantového stavu



- lineární model
- věrohodnost je obvykle konkávní funkcí stavu
- maximalizace konkávní funkce na konvexní množině

$$\hat{\rho} = \arg \max_{\rho} L(\rho) \quad \text{s.t.} \quad \rho \succeq 0, \quad \text{Tr} \rho = 1$$

- konvexní problém

tomografie

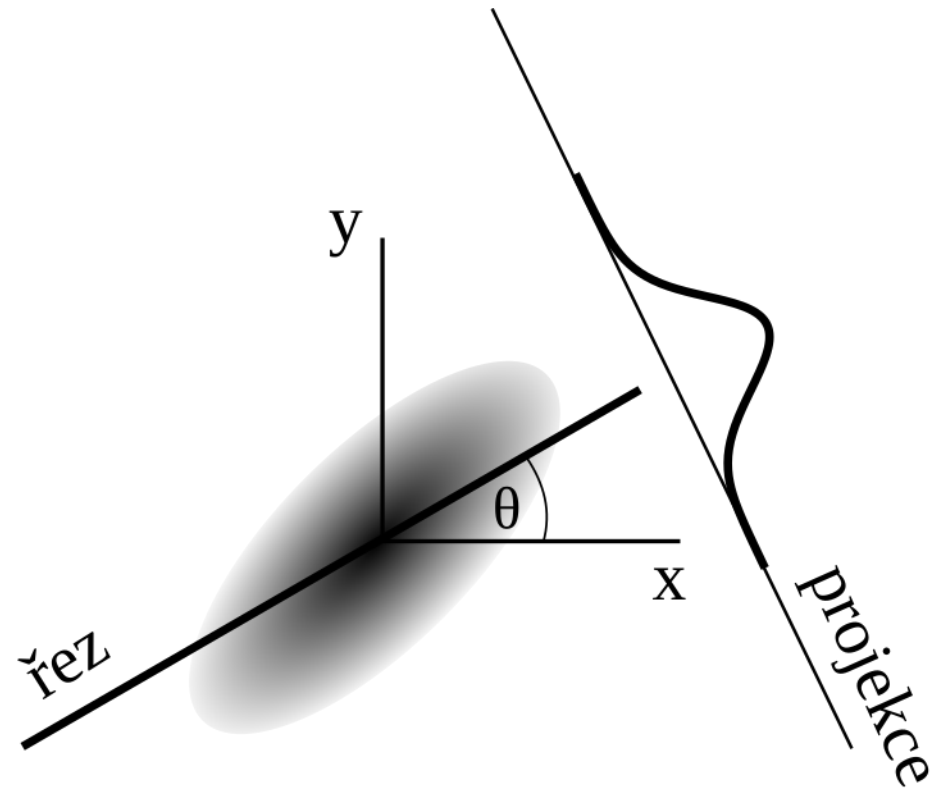
rekonstrukce 2D objektu z 1D projekcí

2D \rightarrow 1D

- projekce / marginální rozdění
- řez / podmíněné rozdění

přímá inverze

FT projekce objektu = řez FT objektu



tomografie ...

fázový prostor – Wignerova funkce $W(x, y)$

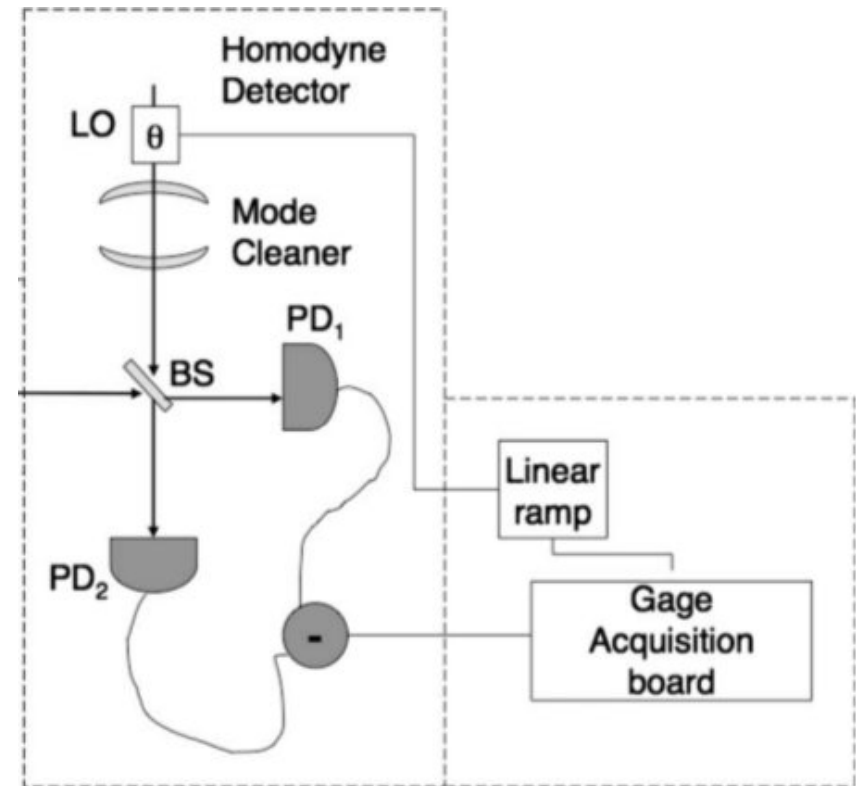
- zobecnění klasické rozdělovací funkce
- kvazidistribuce
- marginální rozdělení

$$x_\theta = x \cos \theta + y \sin \theta$$

kvadratury

homodynní detekce

- měření x_θ
- t.j. měření projekcí Wignerovy funkce
- tomografie umožňuje odhad Wignerovy funkce z homodynních dat



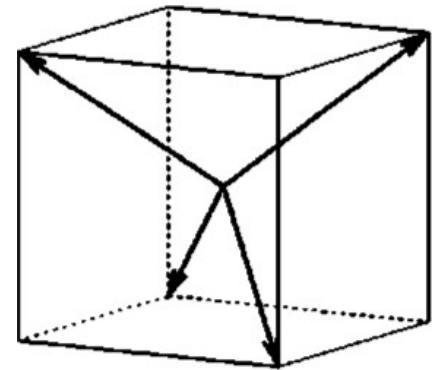
některé koncepty IC měření

symetrické IC měření (SIC)

- $N = \text{dim}^2$ subnormalizovaných projektorů s konstantními překryvy
- netriviální konstrukce ale zřejmě existují v každé dimenzi

MUB měření

- $\text{dim} + 1$ vzájemně komplementárních bází
- prvočíselné dimenze a jejich mocniny
- např. elipsometrie v $\text{dim} = 2$



náhodné měření

- N náhodných projekcí
- optimální m. pro $N \rightarrow \infty$ (kovariantní m.)

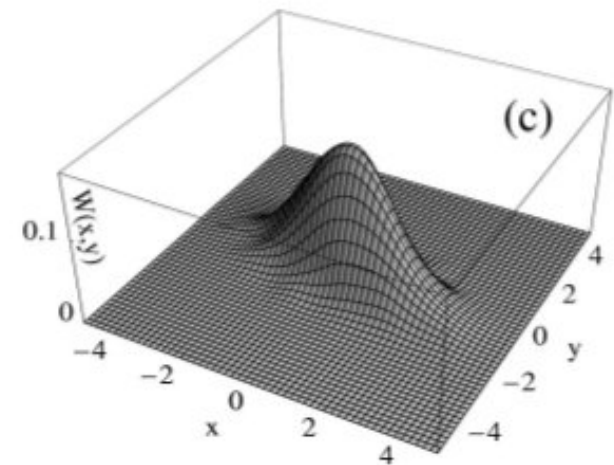
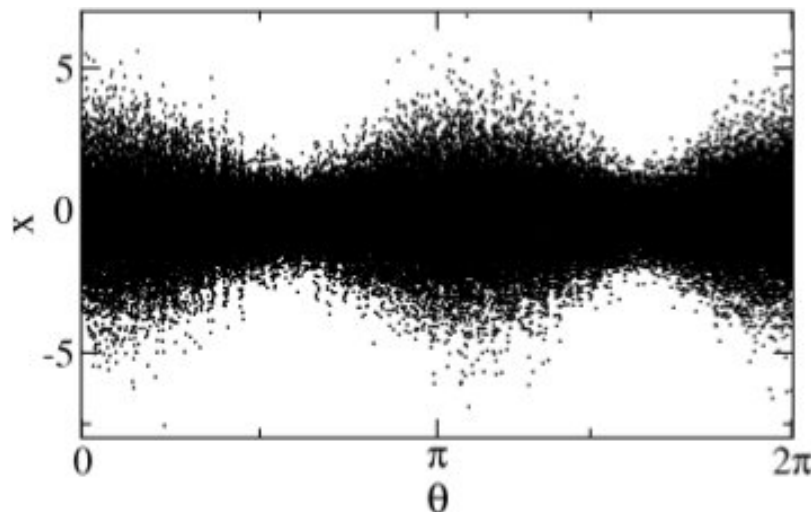
měření gaussovských stavů

Wignerova funkce je 2D normální rozdělení pro x, y

- kovarianční matice G
- variance měřených kvadratur jsou projekce G

$$\sigma_{\theta}^2 = \langle u_{\theta} | G | u_{\theta} \rangle$$

- tedy obdobně jako u měření stavu $\dim = 2$ ovšem s jinými vazbami



měření prostorové koherence

optické svazky = stavy prostorových stupňů volnosti světla

korespondence mezi kvantovou teorií a vlnovou optikou

koherentní signál (vlna) \rightarrow čistý stav $U(x) = \langle x|U \rangle$

částečně koherentní signál \rightarrow smíšený stav – koherenční matice ρ

vzájemná intenzita $\Gamma(x, x') = \langle x|\rho|x' \rangle$

popis měření $I = \text{Tr}(\rho \Pi)$ např. CCD kamera $I(x) \approx \langle x|\rho|x \rangle$

obdobné vazby jako v kvantové teorii $\rho \geq 0$

Shackův-Hartmannův senzor

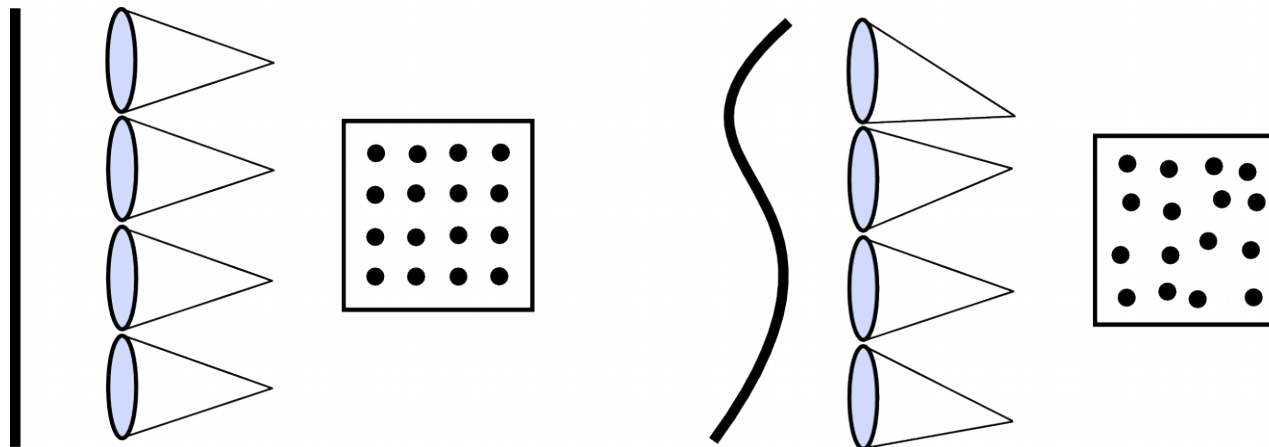
senzor vlnoplochy

metrologie

- kontrola optických ploch
- měření parametrů

adaptivní optické systémy

- korekce atmosférické turbulence (astronomie, vojenské aplikace) ...



princip S-H detekce

S-H tomografie

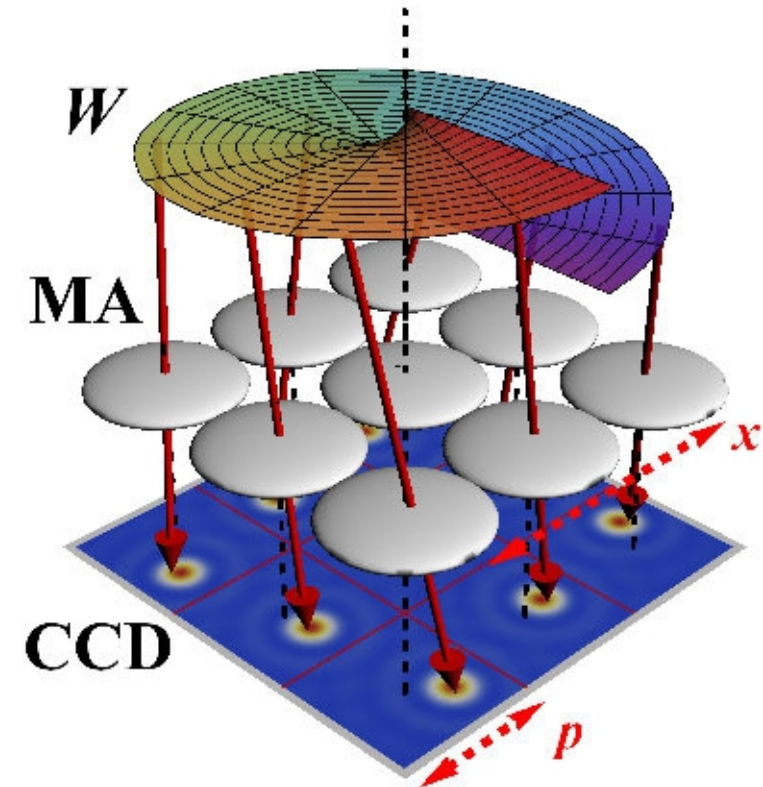
současné měření polohy a hybnosti

speciální případy

- malé pupily ~ měření polohy
- velké pupily ~ měření hybnosti
- gaussovská apodizace

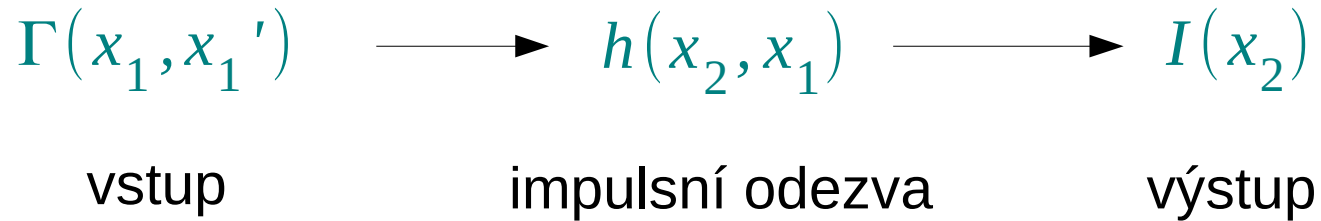
$$I(\alpha) = \langle \alpha | \rho | \alpha \rangle \propto Q(\alpha) \quad \text{Q-funkce}$$

S-H detekce je IC schéma \longrightarrow úplná charakterizace koherence 2. řádu

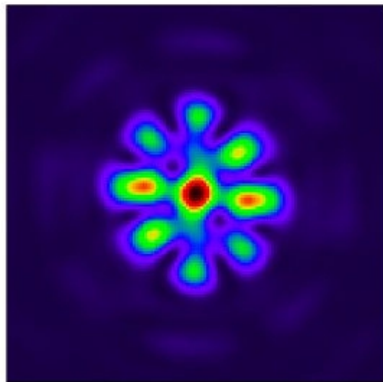


3D zobrazování

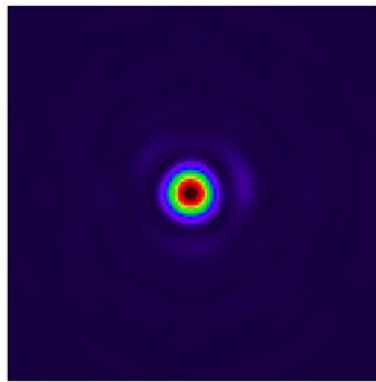
šíření částečně koherentního signálu



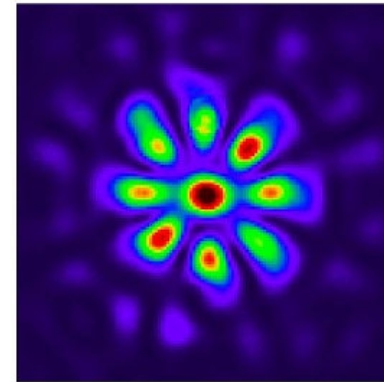
částečně koherentní vírové pole



tomo + digitální
šíření



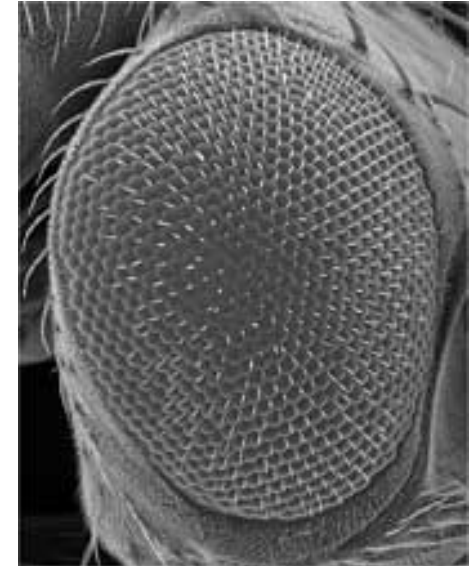
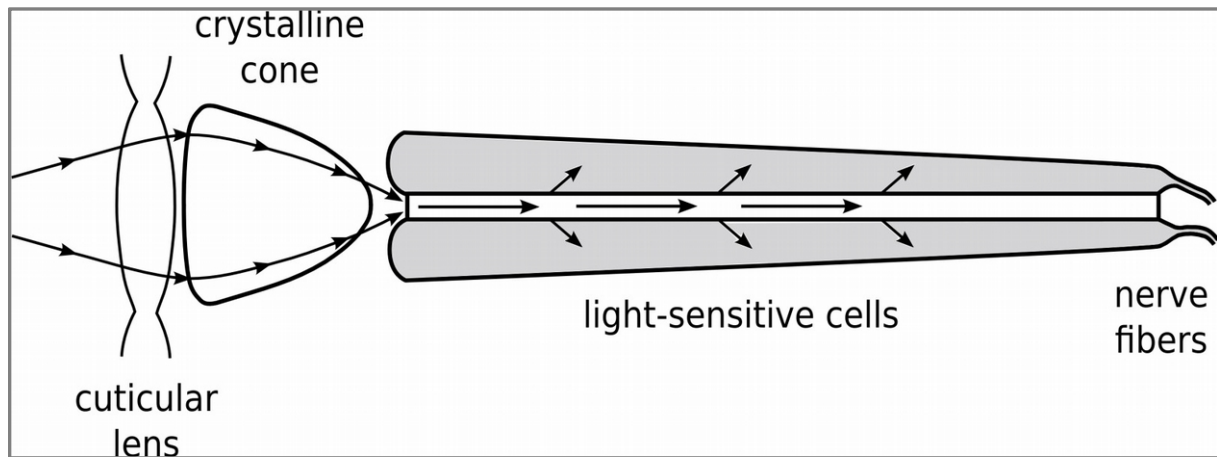
transport intenzity
(HASO)



skutečnost

3D zobrazování ...

složené oko hmyzu



- moucha postrádá schopnost akomodace
- pokud však zachází s dostupnou informací správně, může vidět lépe než si myslíme!

neznámý měřicí aparát

charakterizace neznámého signálu neznámým měřením

- měřím sadu známých signálů (sond) $\{\rho_i\}$ \longrightarrow datové vzory $\{f_i\}$
- měřím neznámý signál ρ \longrightarrow data f

standardní postup


- rekonstrukce měření $\{\rho_i\} + \{f_i\} \rightarrow A$
- rekonstrukce stavu $A + f \rightarrow \rho$

tomografie metodou fitování datových vzorů (data-pattern tomography)

- měření samotné nás nezajímá
- obchází rekonstrukci měření

neznámý měřicí aparát...

linearita systému

$$f \approx \sum_i x_i f_i \quad \hat{\rho} = \sum_i x_i \rho_i, \quad \hat{\rho} \succeq 0, \quad \text{Tr} \hat{\rho} = 1$$


fitování vzorů + stejná lin. kombinace sond

vede na konvexní problém

- typické sondy: koherentní stavy, rovinné vlny ...
- měřené sondy určují “zorné pole” metody

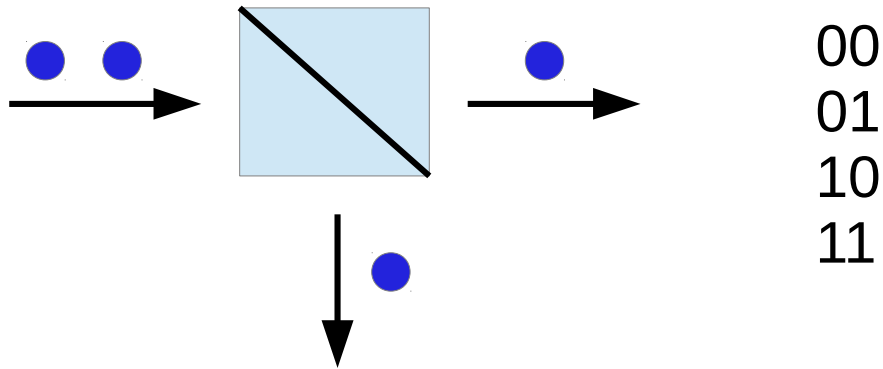
experimentální implementace:

M. Cooper, M. Karpinski, B.J. Smith (Calendon Lab Oxford), *Local mapping of detector response for reliable quantum state estimation*, Nature Communications 5, 4332 (2014)

Physical Review Letters 105, 010402 (2010)

TMD

časový multiplex (Time-Multiplexed Detection)

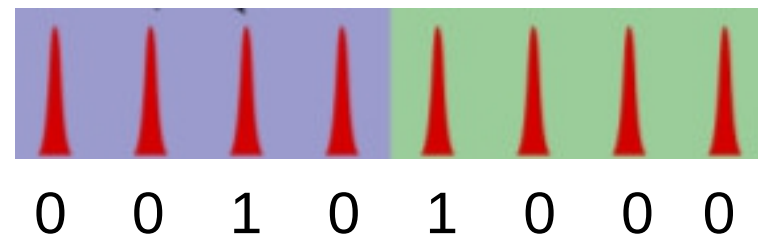


detekční
pravděpodobnosti

$A\rho = p$

fotopulsní rozdělení

vláknové děliče + časové zpoždění

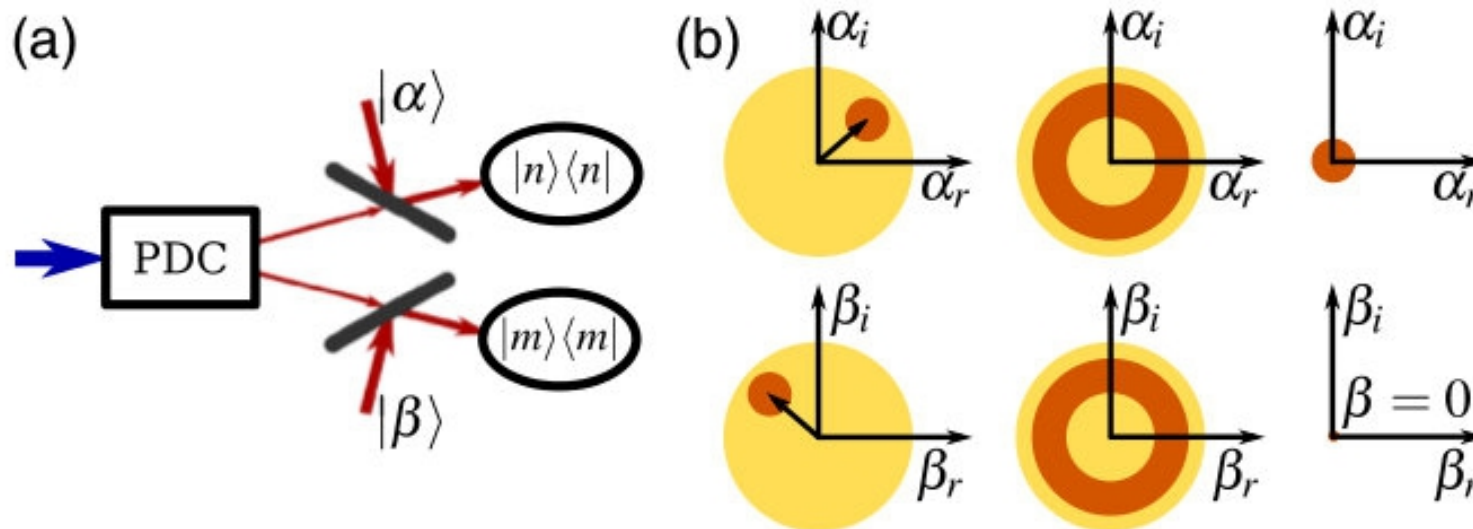


s děličů $\longrightarrow N = 2^s$ nezávislých detekcí (ideálně)

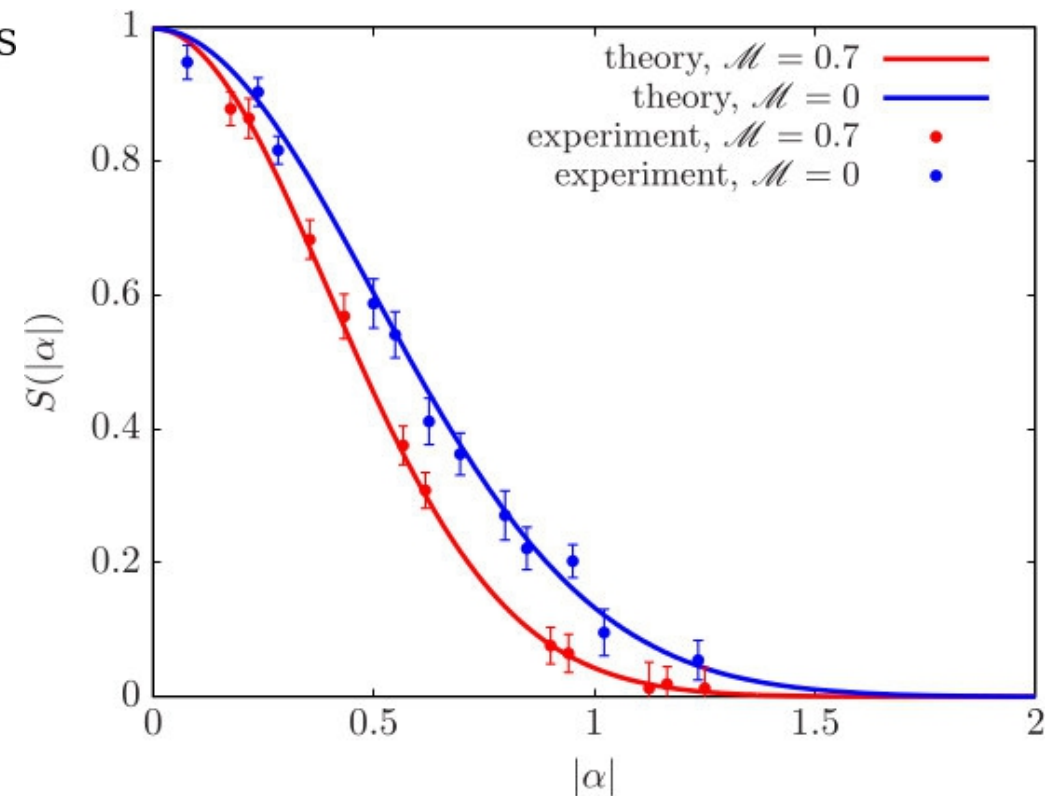
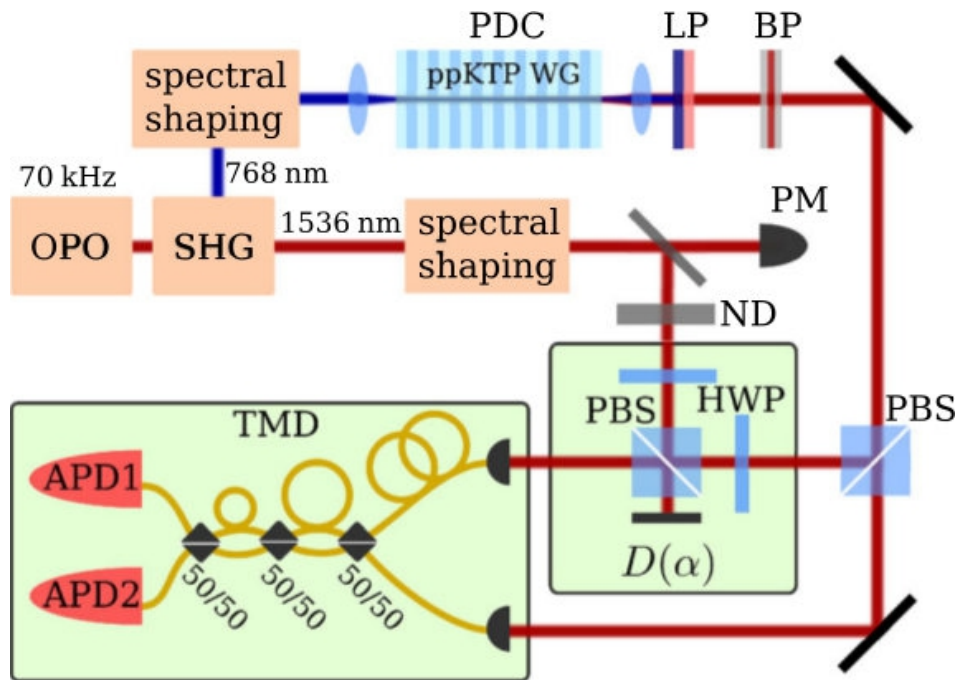
přímé vzorkování Wignerovy funkce

fotopulsní rozdělení \longrightarrow parita $S = \sum_n (-1)^n \rho_n$ \longrightarrow $W(0,0)$

posunuté stlačené dvoumódové vakuum



přímé vzorkování



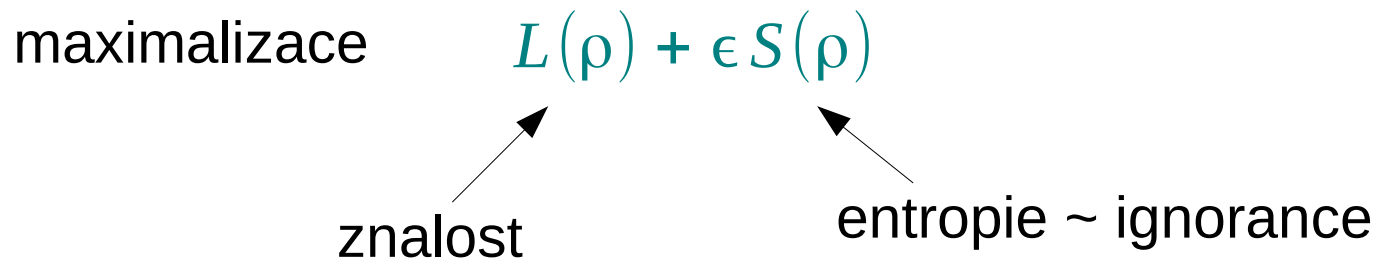
informačně neúplná detekce

nejednoznačné řešení \longrightarrow výběr řešení s největší entropií
může selhat pro vzájemně nekonzistentní vazby

alternativní postup

- jedno optimální řešení \longrightarrow konzistentní data
- maximalizace entropie

nebo



komprimované snímání

neúplné měření může být úplné pro jednoduché signály

- řídký signál
- optimalizace s pomocí řídkost podporujících vektorových norem l_0, l_1

zobecnění do kvantové teorie

- nukleární norma $\|\rho\|_1 = \sum_k s_k$
- pro kvantové stavy $\|\rho\|_1 = 1$
- odhad s podmínkou positivity je v tomto smyslu komprimované snímání

kvalita měření

obvyklá míra chyby odhadu – střední kvadratická chyba (MSE)

$$e^2 = \langle (\rho - \hat{\rho})^2 \rangle \quad \text{pro jeden parametr}$$

$$e^2 = \langle \|\rho - \hat{\rho}\|_F^2 \rangle \quad \text{pro kvantový stav (H-S vzdálenost)}$$

Cramérova-Raova dolní mez (CRLB)

- dolní mez pro chybu nevychýleného odhadu
- lze dosáhnout asymptoticky (ML ...)

kvalita měření

pro dané měření: “klasická” mez

optimalizace přes měření: “kvantová” mez

středování přes stavy: kvalita daného měření

příklady:

SIC $e_{\text{SIC}}^2 \propto \text{dim}^2$

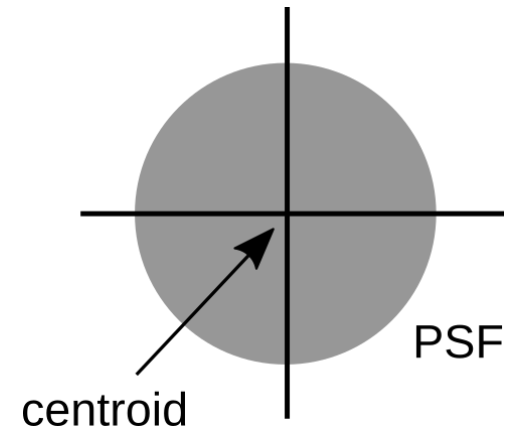
MUB $e_{\text{MUB}}^2 \propto \text{dim}^2 < e_{\text{SIC}}^2$

kovariantní m. $e_{\text{opt}}^2 = 2(\text{dim} - 1)$

rozlišení nekoherentních bodových zdrojů

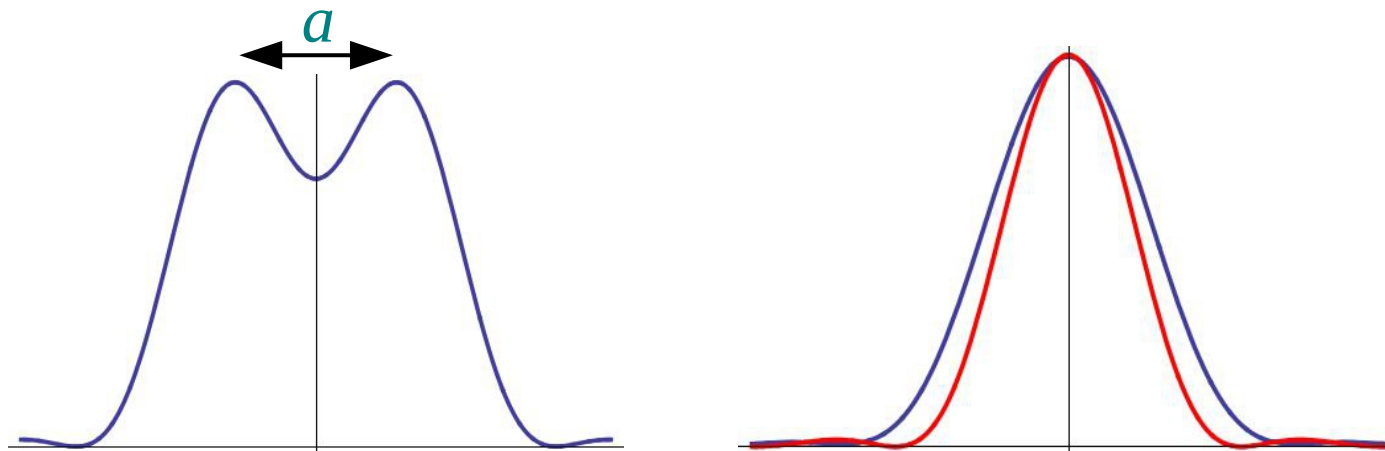
lokalizace bodového zdroje

- libovolně přesná lokalizace
- měření polohy (CCD) dosahuje kvantové meze
- např. astrometrie, fluorescenční mikroskopie



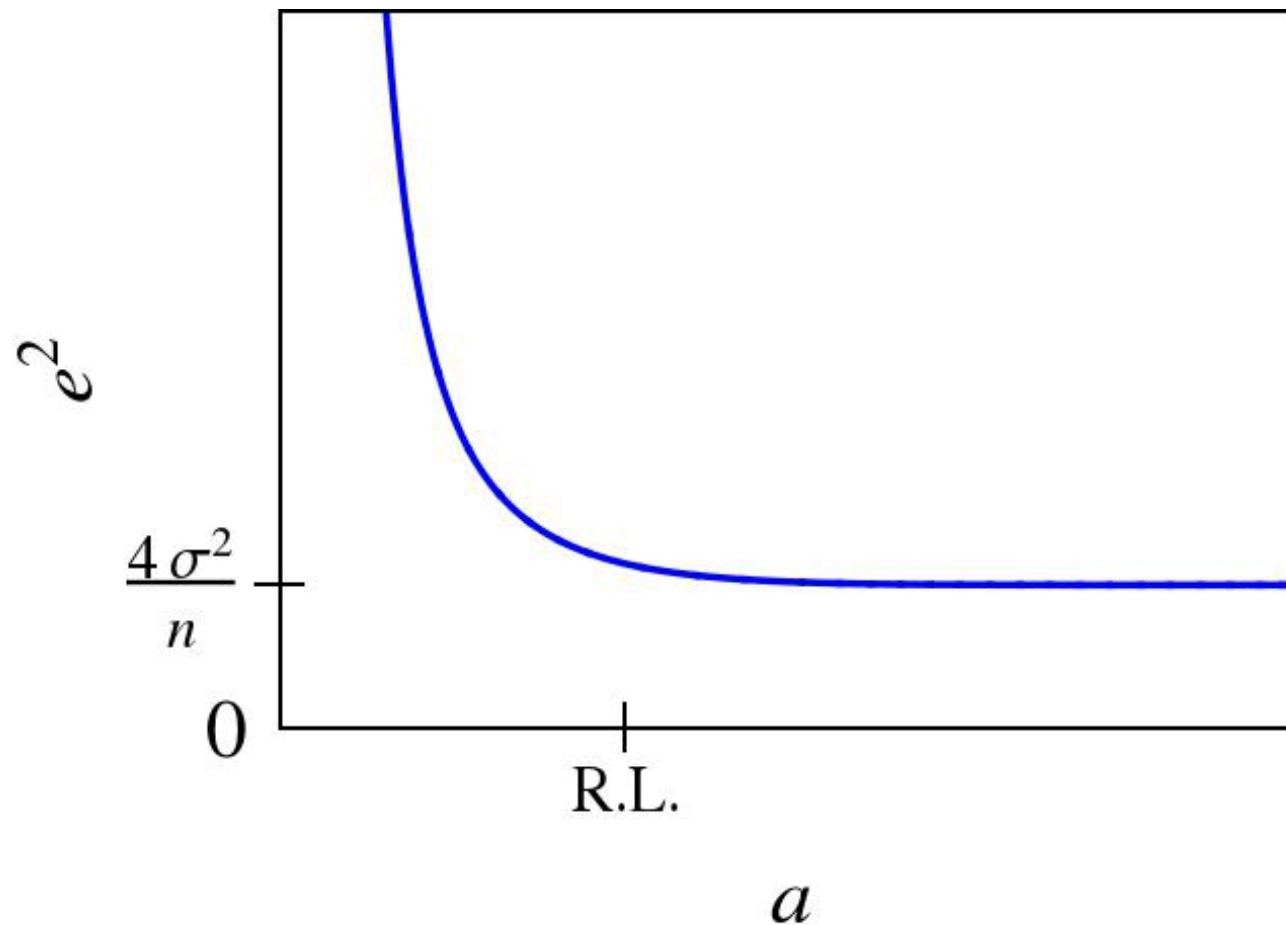
dva zdroje

- superrozlišení
- v jakém smyslu Rayleighův limit skutečně limituje rozlišení?



rozlišení ...

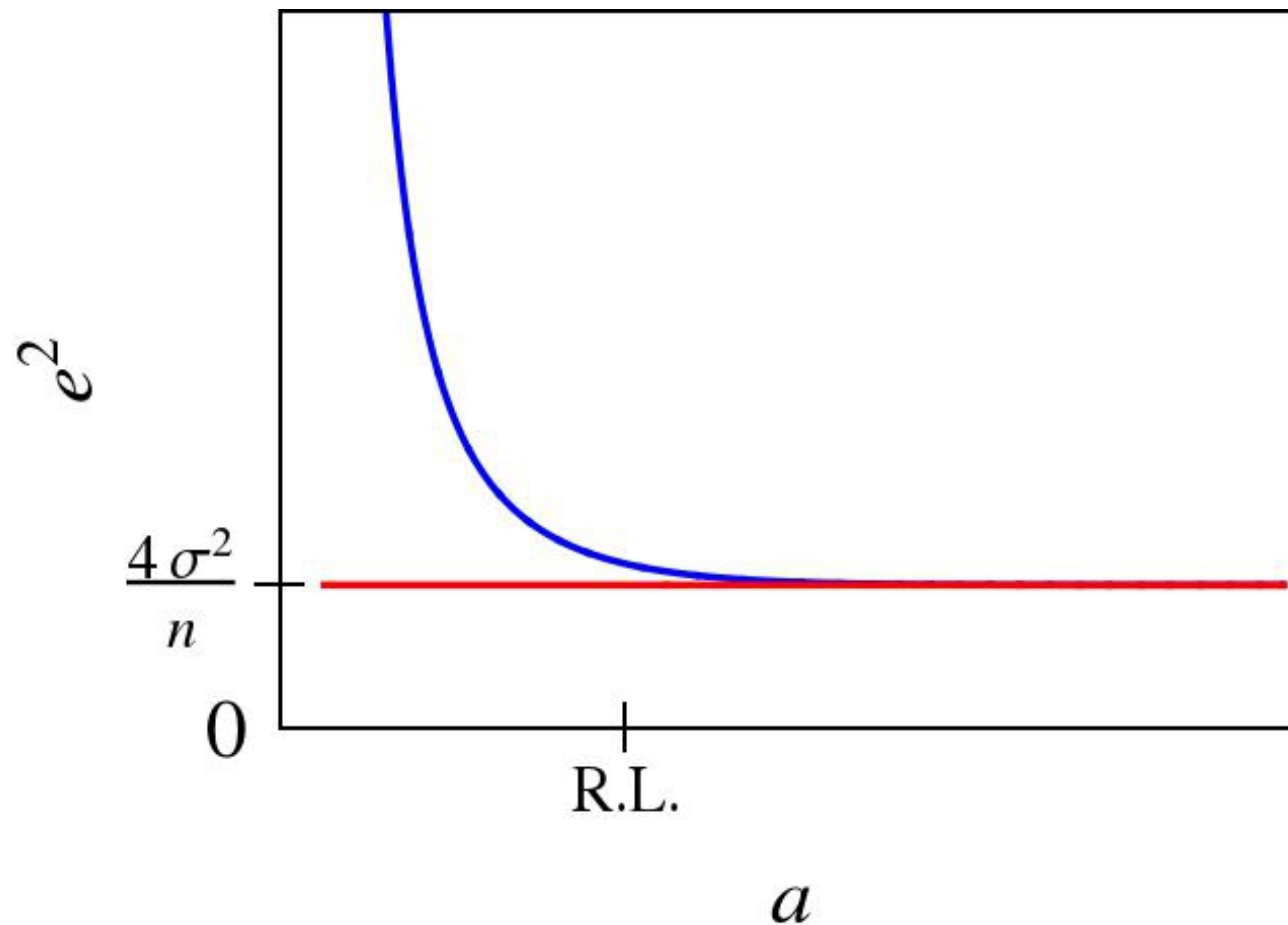
CCD detekce – klasická mez



výrazné překonání R.L. je obtížné

rozlišení ...

optimální detekce – kvantová mez



stejné chování jako pro lokalizaci jednoho zdroje – superrozlišení je snadné

rozlišení ...

PSF $|\psi(x)|^2$

optimální měření pro malé separace \longrightarrow $\frac{d}{dx} \psi(x)$
gaussovská PSF \longrightarrow projekce do HG_{01} \longleftarrow impulsní odezva

v kvantové analogii:

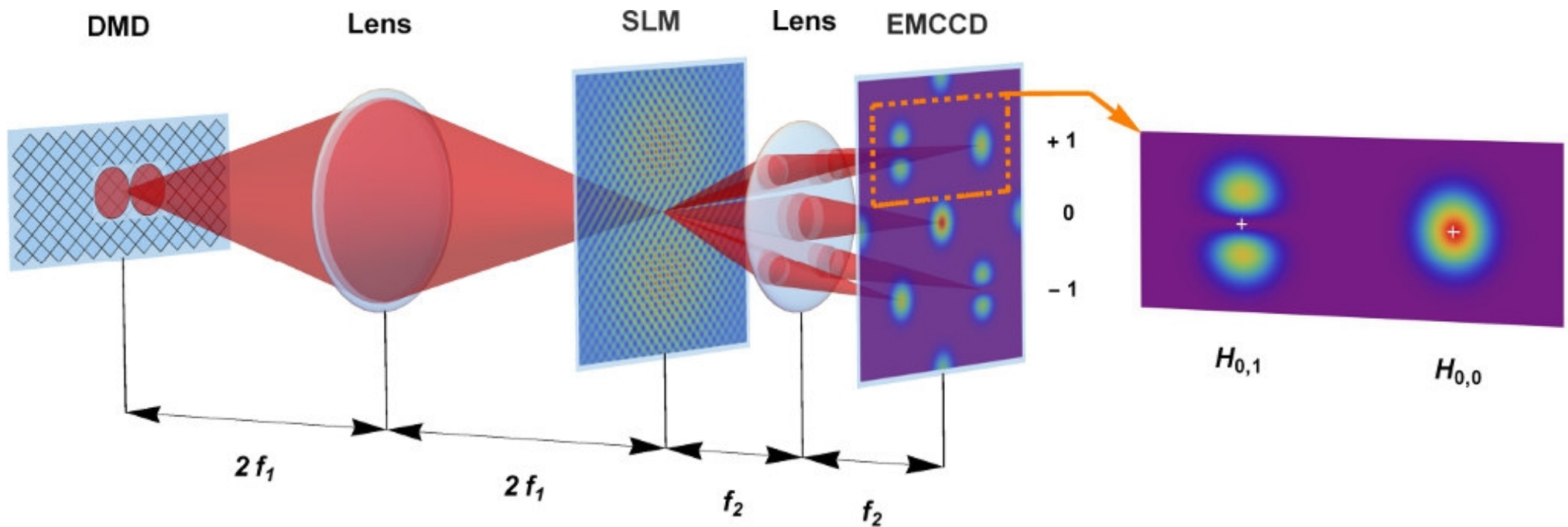
signál - směs posunutých koherentních stavů

optimální detekce

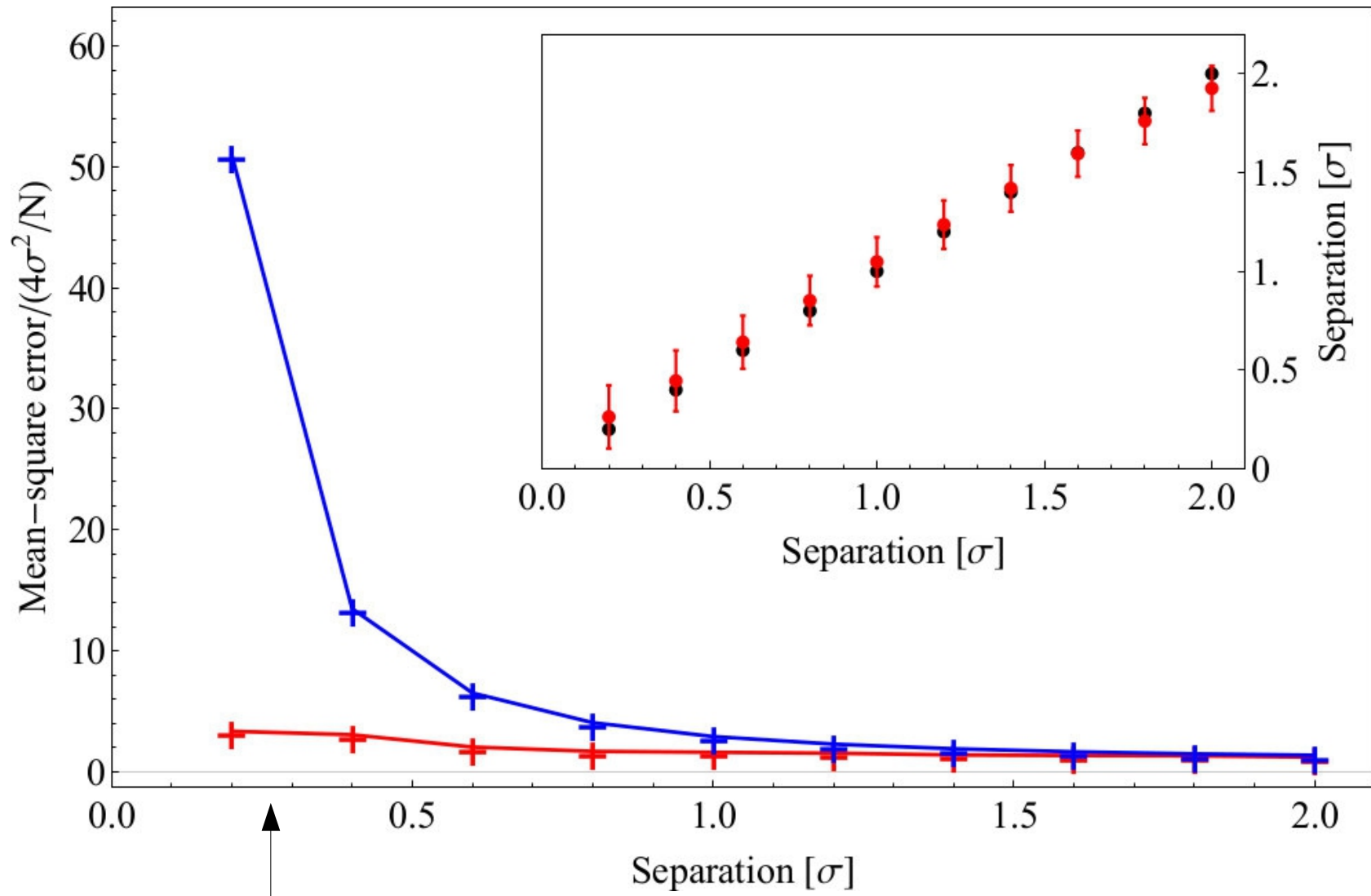
- měření počtu fotonů (M. Tsang ...NUT Singapore ... arXiv)
- 4-kanálové stavově-závislé měření (J.R.)

rozlišení

realizace optimálního měření s pomocí digitální holografie



rozlišení ...

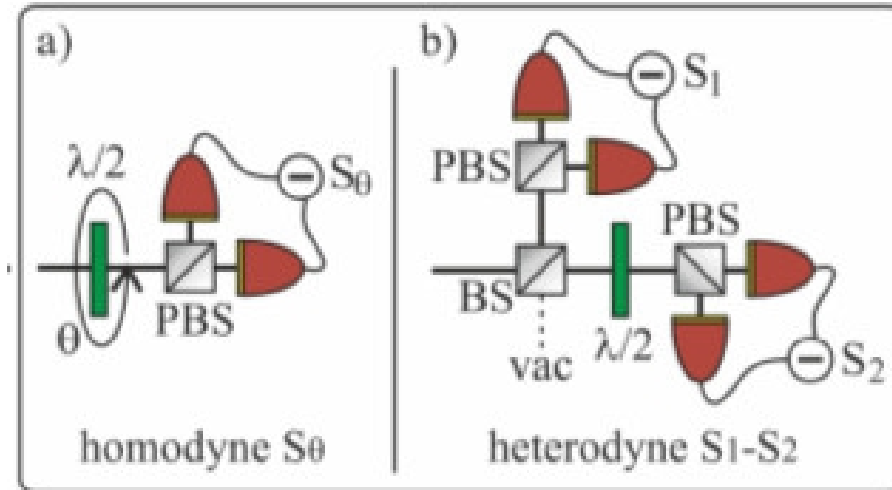


10% R.L.

zlepšení detekce přidáním šumu

dvojitá homodynní (heterodynní) detekce

- vzorkování Q-fce
- dělení svazku vnáší vakuový šum (-)
- jednodušší inverze (+)



co je tedy lepší strategie?

faktory pracující pro heterodynní detekci

- signál není stav s minimální neurčitostí
- signál je stlačený
- detektor není perfektní

výsledky

